

黄芩提取物对细胞色素P450酶的影响

姚珏成^{1,2}, 倪健^{1*}, 韩婧¹, 冯丽君¹, 闫磊¹

(1. 北京中医药大学, 北京 100102; 2. 北京市药品监督管理局海淀分局, 北京 100097)

[摘要] 目的: 研究黄芩提取物对大鼠细胞色素P450同工酶CYP1A2,CYP3A4,CYP2E1,CYP2C19活性的影响。方法: 建立同时测定大鼠血浆中4种探针药物的高效液相色谱方法,用Cocktail探针药物法,将雄性SD大鼠随机分为2组,给药组灌胃给予黄芩提取物混悬液,对照组灌胃给予相同剂量的生理盐水。给药10d后尾静脉注射4种探针药物,眼眶取血,通过测定4种探针药物的代谢以评价CYP1A2,CYP3A4,CYP2E1,CYP2C19的活性,采用Kinetica5.0计算药代动力学参数。结果: 4种探针药物的 $T_{1/2}$ 较对照组均有增加,其中氨苯砜、氯唑沙宗和奥美拉唑的 $T_{1/2}$ 增加显著;氨苯砜、氯唑沙宗和奥美拉唑的MRT_{0→∞}均有增加,其中氯唑沙宗和奥美拉唑的MRT_{0→∞}增加显著。结论: 黄芩提取物对CYP1A2,CYP3A4,CYP2E1,CYP2C19均有抑制作用,其中对CYP3A4,CYP2E1,CYP2C19抑制作用显著。

[关键词] cocktail; 细胞色素P450酶; 咖啡因; 氨苯砜; 氯唑沙宗; 奥美拉唑; 黄芩

[中图分类号] R285.5 **[文献标识码]** A **[文章编号]** 1005-9903(2012)02-0202-04

Effect of Scutellaria Extract to Cytochrome P450 Enzymes

YAO Jue-cheng^{1,2}, NI Jian^{1*}, HAN Jing¹, FENG Li-jun¹, YAN Lei¹

(1. Beijing University of Traditional Chinese Medicine, Beijing 100102, China;
2. Beijing Durg Administration Haidian Branch, Beijing 100097, China)

[Abstract] **Objective:** To study the effect of Scutellaria extract to cytochrome P450 enzymes CYP1A2, CYP3A4, CYP2E1 and CYP2C19. **Method:** To establish an RP-HPLC method for the study of 4 probe drugs in rats plasma. The rats are divided in 2 groups randomly. One group were given Scutellaria extract once daily, another received normal saline once daily as the blank control. After 10 days of treatment, the rats were given 4 probe drugs by tail intravenous injection and the plasma were obtained at 0, 5, 10, 15, 30, 15, 60, 180, 360, 540, 720 min. The plasma concentration of 4 probe drugs was determined by RP-HPLC. The pharmacokinetic parameters were calculated by Kinetica 5.0. **Result:** The metabolism of dapsone, chlorzoxazone and omeprazole are slowed down significantly while the $T_{1/2}$ of all 4 probe drugs were increased. The MRT_{0→∞} of chlorzoxazone and omeprazole were increased significantly. **Conclusion:** Scutellaria extract tended to be the inhibitor of CYP1A2,

[收稿日期] 20110815(003)

[通讯作者] * 倪健, 博士, 教授, 从事中药新制剂的开发研究, E-mail: njtem@163.com

- [9] 金始宇, 葛日光, 全秀莲, 等. 复方苦参注射液在老年肺癌性疼痛中的应用 [J]. 中国误诊学杂志, 2004, 4(10):10.
- [10] 张明东, 曲立贞. 复方苦参注射液治疗癌性疼痛46例观察 [J]. 肿瘤的基础与临床杂志, 2008, 21(2):170.
- [11] 王婉茹. 复方苦参注射液治疗癌性疼痛的临床观察 [J]. 实用肿瘤学杂志, 2007, 21(5):439.
- [12] 徐淑云. 药理实验方法学 [M]. 3 版. 北京: 人民卫生出版社, 2002: 886, 882.
- [13] 陈奇. 中药药理研究方法学 [M]. 2 版. 北京, 人民卫生出版社, 1994: 481, 714, 481, 714.
- [14] 许相儒, 蒋纪凯. 苦参及其生物碱抗肿瘤活性研究进展 [J]. 中国中西医结合杂志, 1998, 18(5):314.
- [15] 熊玉兰, 王彦礼, 孙建辉, 等. 复方苦参注射液对荷瘤小鼠化疗增效减毒及免疫功能的影响 [J]. 中国中医药信息杂志, 2006, 13(11):48.

[责任编辑 何伟]

CYP3A4, CYP2E1 and CYP2C19. But CYP3A4 and CYP2E1 were affected significantly.

[Key words] cocktail; CYP450; caffeine; dapsone; chlorzoxazone; omeprazole; Scutellaria extract

黄芩提取物收载于《中国药典》2010 年版,黄芩苷含量不得低于 85.0%,现广泛应用于制药行业。为了评价黄芩提取物对 CYP450 酶系的影响,笔者参考文献[1-2],建立同时检测大鼠血浆中 4 种细胞色素 P450 酶探针药物,即咖啡因(CYP1A2)、氨苯砜(CYP3A4)、奥美拉唑(CYP2C19)和氯唑沙宗(CYP2E1)的反相高效液相色谱方法,通过计算药代动力学参数评价黄芩提取物对 CYP450 同工酶 CYP1A2,CYP3A4,CYP2E1,CYP2C19 活性的影响,从而判断黄芩提取物对这 4 种同工酶的诱导或抑制作用,为临床合理用药提供参考。

1 材料

1.1 仪器 岛津 LC-20AT 型高效液相色谱仪(四元泵,DAD 检测器,LC solution 岛津液相色谱工作站),Apollo C₁₈ 色谱柱(4.6 mm×150 mm,5.0 μm),YP 10002 型电子天平(上海越平科学仪器有限公司),TDL-5 型离心机(上海安亭科学仪器厂),GL-88B 型涡旋混合仪(江苏海门其林贝尔科学仪器厂)。

1.2 药品与试剂 咖啡因(coffine)为 Sigma-Aldrich 公司试剂、纯度>99%;氨苯砜(dapsone)、氯唑沙宗(chlorzoxazone)、奥美拉唑(omeprazole)、安替比林(antipyrine)均来源于中国药品生物制品检定所,批号分别为 100114-199101, 100364-200301, 100760-200501, 100506-200301;乙腈、甲醇均为 Fisher 公司色谱纯试剂,水为屈臣氏蒸馏水;黄芩提取物(自制,批号 20101223, 符合《中国药典》2010 年版规定)。

1.3 动物 健康雄性 SD 大鼠,体重(300±20) g,由北京维通利华实验动物技术有限公司提供,生产许可证号 SCXK(京)2007-0001。

2 方法

2.1 色谱条件 Apollo C₁₈ 色谱柱,流动相 A-水,B-甲醇,C-乙腈,梯度洗脱(甲醇比例保持 35%;0~4 min, 65%~65% A;4~9 min, 65%~45% A;9~12 min, 45%~45% A;12~14 min, 45%~65% A;14~20 min, 65%~65% A),柱温 45 ℃,检测波长 270 nm,流速 1.0 mL·min⁻¹,进样量 50 μL。内标为安替比林(4 mg·L⁻¹)。

2.2 分组及给药方法 将 SD 大鼠按体重随机,分为给药组和对照组,每组 6 只。给药组每天清晨灌

胃给予黄芩提取物,给药剂量 0.04 g·kg⁻¹,对照组给予相同剂量的生理盐水,给药 10 d。

2.3 血浆样品的处理与测定 大鼠在黄芩提取物给药的第 11 日清晨,尾静脉注射 4 种探针药物(尾静脉注射前 12 h,动物禁食不禁水)。咖啡因、氨苯砜、氯唑沙宗、奥美拉唑,均按 10 mg·kg⁻¹ 的剂量加 50% 乙醇溶液溶解,以 0.22 μm 微孔滤膜过滤后注射给药。分别于给药后的 0.03, 0.08, 0.17, 0.25, 0.5, 0.75, 1.0, 3.0, 6.0, 9.0, 12.0 h 眼眶取血 0.5 mL, 加入预先加入肝素钠的 EP 管中, 以 1 万 r·min⁻¹ 离心 5 min, 精密移取血浆 100 μL, 加入预先吹干 200 μL 内标安替比林的离心管中, 涡旋混合 1 min, 加入乙腈 400 μL, 涡旋混合 1 min, 以 5 000 r·min⁻¹ 离心 20 min, 精密移取上清液 400 μL, 吹干, 加甲醇-水(35:65)200 μL 溶解, 取 50 μL 进样。

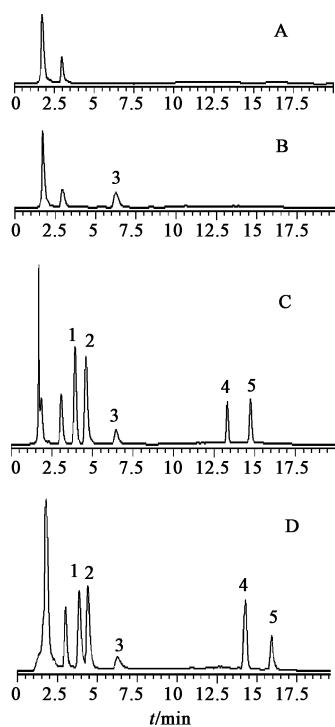
2.4 药代动力学参数计算及分析方法 药动学参数计算采用 Kinetica 5.0 软件完成,由于分析结果不符合房室模型,故采用非房室模型计算结果。

2.5 统计学方法 数据以 $\bar{x} \pm s$ 形式表示,统计采用 SPSS 17.0 软件分析,经过正态分布及方差齐性检验后用 t 检验进行 2 组数据的比较。

3 结果

3.1 专属性 以空白血浆加入安替比林内标,血浆直接加入 4 种探针药物以及尾静脉注射 4 种探针药物后的血浆样品进行色谱行为比较。由图 1 可见 4 种探针药物与内标的分离良好,对测定无干扰。

3.2 标准曲线 取空白血浆 100 μL, 加入 4 种探针药物,使血浆中咖啡因的质量浓度分别为 0.536, 1.609, 2.682, 5.364, 8.046, 10.728, 16.092, 21.456, 26.820, 32.184, 37.548 mg·L⁻¹; 氨苯砜的质量浓度分别为 0.235, 0.471, 1.412, 2.354, 4.708, 7.062, 9.416, 14.124, 18.832, 23.540, 28.248, 32.956, 37.664 mg·L⁻¹; 氯唑沙宗的质量浓度分别为 0.520, 1.560, 2.600, 5.200, 7.800, 10.400, 15.600, 20.800, 26.000, 31.200, 36.400, 41.600 mg·L⁻¹; 奥美拉唑的质量浓度分别为 0.449, 1.348, 2.246, 4.492, 6.738, 8.984, 13.476, 17.968, 22.460, 26.952, 31.444, 35.936 mg·L⁻¹, 按 2.4 中血清样品处理方法处理,以探针药物和内标峰面积之比(S)对探针药物的质量浓度(C)(mg·L⁻¹)进行线性回归,得回归方程 $S_{\text{咖啡因}} = 0.1632C - 0.2045$



1. 氨苯砜; 2. 咖啡因; 3. 安替比林; 4. 氯唑沙宗; 5. 奥美拉唑

图1 空白血浆(A)、加入内标的血浆(B)、
加入探针药物和内标的血浆(C)及
体内注射探针药物后的血浆(D)典型样品液相色谱

($r = 0.9949$),线性范围 $10.728 \sim 42.912 \text{ mg} \cdot \text{L}^{-1}$; $S = 0.1698C - 0.0344$ ($r = 0.9981$),线性范围 $0.536 \sim 10.728 \text{ mg} \cdot \text{L}^{-1}$; $S_{\text{氨苯砜}} = 0.1566C + 0.5904$ ($r = 0.9941$),线性范围 $4.708 \sim 37.664 \text{ mg} \cdot \text{L}^{-1}$; $S = 0.2766C - 0.0237$ ($r = 0.9994$),线性范围 $0.235 \sim 4.708 \text{ mg} \cdot \text{L}^{-1}$; $S_{\text{氯唑沙宗}} = 0.0511C + 0.1082$ ($r = 0.9987$),线性范围 $10.400 \sim 41.600 \text{ mg} \cdot \text{L}^{-1}$; $S = 0.0626C + 0.0017$ ($r = 0.9946$),线性范围 $(0.520 \sim 7.800) \text{ mg} \cdot \text{L}^{-1}$; $S_{\text{奥美拉唑}} = 0.0634C + 0.1678$ ($r = 0.9947$),线性范围 $8.984 \sim 35.936 \text{ mg} \cdot \text{L}^{-1}$; $S = 0.0798C + 0.0095$ ($r = 0.9942$),线性范围 $0.449 \sim 8.984 \text{ mg} \cdot \text{L}^{-1}$;按药物色谱峰信噪比(S/N)=3时的药物浓度作为检测限,4种探针药物最低检测限分别为 $0.322, 0.188, 0.416, 0.359 \text{ mg} \cdot \text{L}^{-1}$ 。

3.3 精密度和回收率 配制低、中、高3种质量浓度,咖啡因、氨苯砜、氯唑沙宗、奥美拉唑在低浓度样品中的质量浓度分别为 $1.609, 1.412, 1.560, 1.348 \text{ mg} \cdot \text{L}^{-1}$;在中浓度样品中分别为 $5.364, 4.708, 5.200, 4.492 \text{ mg} \cdot \text{L}^{-1}$;在高浓度药品中分别为 $37.548, 37.664, 41.600, 35.936 \text{ mg} \cdot \text{L}^{-1}$ 的血浆样品5份,按**2.4** 中血浆样品处理方法处理,计算日内精密度,连续测定5日,计算日间精密度。4种探针药物的日

内、日间精密度的 $RSD < 15\%$ 。4种探针药物在低、中、高3种质量浓度的样品中方法回收率均介于 $90.39\% \sim 114.27\%$ 。

3.4 稳定性

3.4.1 短期室温条件下的稳定性 配制低、中、高3种质量浓度,4种探针药物浓度同**3.3**项下,按**2.4** 中血浆样品处理方法处理,分别在 $0, 6, 12, 18, 24 \text{ h}$ 测定,计算样品在 24 h 内的稳定性,结果低、中、高浓度样品在 24 h 内连续测定5次的精密度 RSD 均 $< 15\%$ 。

3.4.2 冷冻-解冻稳定性 配制低、中、高3种质量浓度,4种探针药物浓度同**3.3**项下,于 -20°C 贮存 24 h ,取出置室温放置使自然解冻,融解完全后,取样进行测定,再将样品放回 -20°C 贮存 24 h ,反复3次,低、中、高浓度样品测定结果精密度 RSD 均 $< 15\%$ 。

3.5 药动学研究

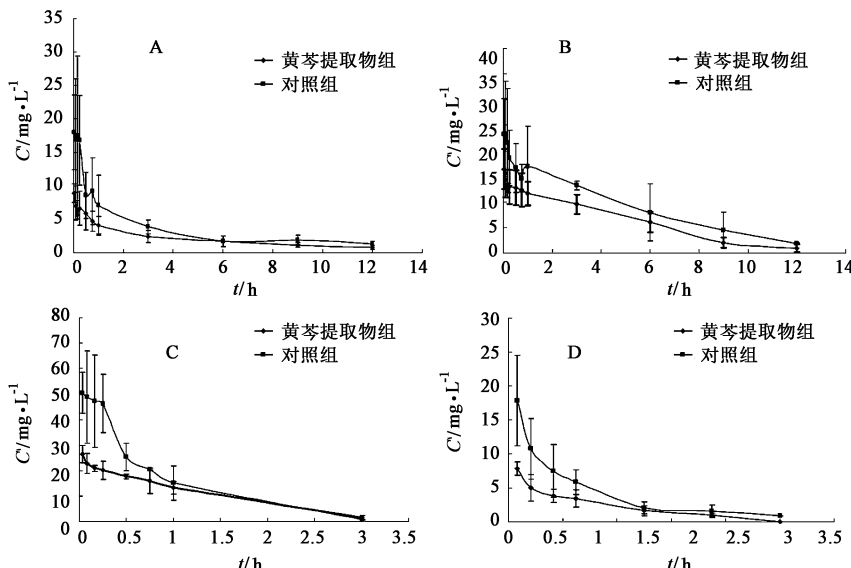
3.5.1 4种探针药物的药-时曲线 见图2。

3.5.2 4种探针药物的药动学参数 通过对4种探针药物的药动学参数直观分析可见,给药组4种探针药物的 $T_{1/2}$ 较对照组均有增加,除咖啡因外的3种探针药物的 $MRT_{0 \rightarrow \infty}$ 均有增加。采用SPSS 17.0进行成组 t 检验计算,结果表明氨苯砜、氯唑沙宗、奥美拉唑的 $T_{1/2}$ 增加显著;氯唑沙宗和奥美拉唑的 $MRT_{0 \rightarrow \infty}$ 增加显著。经过综合分析结,黄芩提取物对CYP1A2, CYP3A4, CYP2E1, CYP2C19 均有抑制作用,其中对CYP3A4, CYP2E1, CYP2C19 抑制作用显著。见表1。

4 讨论

本文建立的高效液相色谱法可以较好地用于血浆中4种探针药物的测定,专属性强、精密度好。本实验采用Cocktail探针药物法评价了黄芩提取物对CYP450的影响。探针药物包括咖啡因、氨苯砜、氯唑沙宗、奥美拉唑。在非房室模型分析中,MRT是一个非常重要的参数,由于遵从“对数-正态分布”,故静脉注射给药时MRT表示的时间是指药物被机体消除给药剂量的63.2%所需要时间。本文通过对半衰期 $T_{1/2}$ 与平均滞留时间 $MRT_{0 \rightarrow \infty}$ 进行综合分析分析,结果表明黄芩提取物对CYP3A4, CYP2E1 和CYP2C19有显著的抑制作用。

CYP3A4是肝脏含量最丰富的细胞色素酶亚型,约占40%,CYP3A4在内源性物质(如类固醇)的代谢中起到重要作用,同时也能够催化至少50%现用药物的氧化反应,常见的如红霉素、硝苯地平。



A. 氨苯砜; B. 咖啡因; C. 氯唑沙宗; D. 奥美拉唑
图 2 SD 雄性大鼠灌胃黄芩提取物后 4 种探针药物的平均药-时曲线 ($\bar{x} \pm s, n = 6$)

表 1 大鼠血浆中 4 种探针药物的药动学参数 ($\bar{x} \pm s, n = 6$)

探针药物	分组	$T_{1/2}/h$	$AUC_{0-\tau}$	$AUC_{0-\infty}$	CL	V	$MRT_{0-\infty}$
			$/mg \cdot h^{-1} \cdot L^{-1}$	$/mg \cdot h^{-1} \cdot L^{-1}$			
氨苯砜	给药	$5.33 \pm 0.64^{1)}$	31.1 ± 9.7	220.5 ± 73.4	0.35 ± 0.11	2.45 ± 0.74	7.07 ± 0.64
	对照	4.36 ± 0.52	50.0 ± 10.6	279.2 ± 103.1	0.21 ± 0.05	1.17 ± 0.44	5.59 ± 1.71
咖啡因	给药	2.31 ± 0.66	74.0 ± 13.7	289.1 ± 69.1	0.14 ± 0.02	0.54 ± 0.08	3.88 ± 0.29
	对照	2.11 ± 0.51	121.9 ± 52.5	499.6 ± 283.4	0.10 ± 0.04	0.36 ± 0.13	3.90 ± 0.69
氯唑沙宗	给药	$0.72 \pm 0.20^{1)}$	32.0 ± 6.8	35.8 ± 13.0	0.33 ± 0.09	0.35 ± 0.09	$1.10 \pm 0.26^{2)}$
	对照	0.46 ± 0.12	40.5 ± 8.8	28.7 ± 8.8	0.26 ± 0.06	0.18 ± 0.04	0.70 ± 0.14
奥美拉唑	给药	$0.25 \pm 0.05^{1)}$	2.5 ± 0.6	0.9 ± 0.4	4.26 ± 1.15	1.44 ± 0.17	$0.35 \pm 0.08^{2)}$
	对照	0.17 ± 0.02	4.0 ± 1.1	1.0 ± 0.3	2.70 ± 0.9	0.64 ± 0.17	0.24 ± 0.02

注:与对照组相比¹⁾ $P < 0.05$, ²⁾ $P < 0.01$ 。

CYP2E1 在毒物、致癌物及药物代谢的过程中占有重要地位。CYP2C19 催化代谢许多内源性底物、环境污染物以及临幊上大约 2% 的药物。黄芩提取物可能会延缓 CYP3A4, CYP2E1, CYP2C19 3 种同工酶底物的代谢。

黄芩提取物在中药制药领域作为原料被广泛应用,与其他药物配伍使用。在临幊用药中,可能与其他药物联合用药。当与其他通过 CYP3A4, CYP2E1, CYP2C19 酶代谢的药物合用时,需密切注意血药浓度的监测,根据药动学参数调整给药方案。

[参考文献]

[1] 扈金萍,闫淑莲,许燕霞,等. 反相高效液相色谱法同

时检测 3 种探针药物 [J]. 色谱, 2002, 20(6):54.

- [2] 贾海, 许爱霞, 袁继勇, 等. 发酵虫草菌粉对细胞色素 P450 酶的影响研究 [J]. 中国中药杂志, 2009, 34(16):2079.
- [3] 刘颖, 焦建杰, 娄建石. “Cocktail”探针药物法的研究进展 [J]. 中国临床药理学与治疗学, 2006, 11(11):1225.
- [4] 郑姣, 周宏灏. 黄酮类化合物对细胞色素 P450 CYP1, 2E1, 3A4 和 19 的影响 [J]. 药学学报, 2007, 42(1):8.
- [5] 高晓新, 梁爱华, 郑素勤. 中草药对细胞色素 P450 酶系影响的研究进展 [J]. 中国实验方剂学杂志, 2006, 12(9):64.

[责任编辑 邹晓翠]